

QCD θ 項の 2-loop 輻射補正

坂野 達哉 (名古屋大)

共同研究者: 久野純治 北原鉄平 長村尚弘

[arXiv:2311.07817](https://arxiv.org/abs/2311.07817)

Flavor Physics Workshop 2023

2023/11/24

Introduction

QCD における P と $CP(=T)$ の破れ

$$\mathcal{L}_{CPV} = -|m_q|\bar{q}[\exp(i\theta_q)P_R + \exp(-i\theta_q)P_L]q + \theta_G \frac{\alpha_s}{8\pi} G\tilde{G}$$

chiral 回転: $q \rightarrow \exp[i\theta_q\gamma_5/2]q$ を施すと

$$\mathcal{L}_{CPV} = -|m_q|\bar{q}q + (\theta_G - \theta_q) \frac{\alpha_s}{8\pi} G\tilde{G}$$

$\bar{\theta} := \theta_G - \theta_q$ は chiral rot. に依らない観測量 (Fujikawa method)

素粒子標準模型の CP の破れ \rightarrow quark の位相

CKM 行列の位相 [PDG]

$$\delta_{\text{CKM}} \simeq 1.144$$

QCD θ 項 [C. Abel, et al. Phys. Rev. Lett. 124 (2020)]

$$\bar{\theta} \lesssim 10^{-10}$$

強い CP 問題 : $\delta_{\text{CKM}} \gg \bar{\theta}$?

- Peccei-Quin 機構 + axion → 今回扱わない
- P/CP を自発的に破る模型
 1. Left-right model (~~P~~)
 2. Nelson-Barr model (~~CP~~)

tree level の $\bar{\theta}$ は P/CP 対称性によって禁止, 輻射補正で出る

$$\bar{\theta} = \bar{\theta}_{tree} + \delta\bar{\theta}$$

目標： $\delta\bar{\theta}$ を正しく評価 → 模型の制限

方法：

1. 従来の方法：Fujikawa method (quark 質量の位相のみで評価)
2. 新しい方法：Feynman diagram による評価 [J. Hisano, et al. JHEP 03 (2023)]
Fujikawa method では評価できなかった寄与も含む

課題：

- 新しい方法を用いた LR model での 2-loop 計算では exact に $\delta\theta = 0$
→ 質量の位相以外の寄与も評価できているのか？
- 質量の位相以外の寄与があったとしてどの程度 $\delta\theta$ 効くのか

本研究で調べたこと

- CPV Yukawa を含む simplified model で 2-loop diagram を直接計算し質量の位相以外の寄与が出ることを確かめた
- Fujikawa method ではなく diagrammatical な方法を使うべき場合を明らかにした

⇒ diagrammatical な $\bar{\theta}$ の評価方法の整理

1-loop calculations

次元 5 までの演算子を含む quark 有効理論 (1-flavor, $\theta_G = 0$)

$$\mathcal{L}_{\text{eff}} = \bar{q} [i\not{D} - (m_q^* P_L + m_q P_R)] q - \frac{1}{2} g_s \mu_q \bar{q} (\sigma \cdot G) q - \frac{i}{2} g_s d_q \bar{q} (\sigma \cdot G) \gamma_5 q$$

↕ chiral rot.

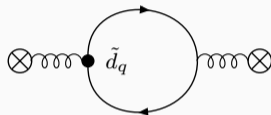
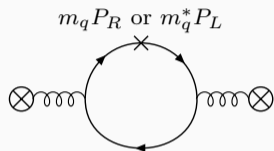
$$\mathcal{L}_{\text{physical}} = \bar{q} (i\not{D} - |m_q|) q - \frac{1}{2} g_s \tilde{\mu}_q \bar{q} (\sigma \cdot G) q - \frac{i}{2} g_s \tilde{d}_q \bar{q} (\sigma \cdot G) \gamma_5 q - \theta_q \frac{\alpha_s}{8\pi} G\tilde{G}$$

$\tilde{\mu}_q, \tilde{d}_q$: quark-gluon の異常 磁気/電気 双極子能率

CP の破れ : 質量の位相 ($\arg m_q$) , chromo EDM (\tilde{d}_q)

EFT における $\bar{\theta}$ への 1-loop の寄与は？

→ 背景 gluon 場の下での汎関数行列式を用いた計算が便利 (operator Schwinger method)



$$\Delta S = -i \text{Tr} \log [\not{D} - (m_q^* P_L + m_q P_R)]$$

$$= -\theta_q \int d^4x \frac{\alpha_s}{8\pi} G\tilde{G} + \dots$$

$$\Delta S = -i \text{Tr} \log \left[\not{D} - |m| - \frac{i}{2} g_s \tilde{d}_q (\sigma \cdot G) \gamma_5 \right]$$

$$= -2|m_q| \tilde{d}_q \log \frac{|m_q|^2}{\mu^2} \int d^4x \frac{\alpha_s}{8\pi} G\tilde{G} + \dots$$

(μ は繰り込み点)

$$\bar{\theta} = -\theta_q - 2|m_q| \tilde{d}_q \log \frac{|m_q|^2}{\mu^2}$$

1-loop まとめ

Feynman diagram を用いて $\bar{\theta}$ を評価した : $\bar{\theta} = -\theta_q - 2|m_q|\tilde{d}_q \log \frac{|m_q|^2}{\mu^2}$

- 質量の位相 \rightarrow Fujikawa method と一致
- chromo EDM (\tilde{d}_q) の寄与 \rightarrow RGE : $\mu \frac{d\theta}{d\mu} = 4|m_q|\tilde{d}_q$ と consistent

[E. E. Jenkins, et al. JHEP 01 (2018)]

\Rightarrow diagram を用いることで CEDM も含めて評価できる

欠点 : 2-loop 以上の計算は困難

\Rightarrow 新しい方法 : Fock-Schwinger gauge method

2-loop calculations

CPV 相互作用を含む Full theory で $\delta\theta$ を diagrammatical に評価したい

CPV Yukawa を含む toy model

$$-\mathcal{L} = \bar{q} (\text{Re}[m_q] + i \text{Im}[m_q] \gamma_5) q + \frac{1}{2} m_\phi^2 \phi^2 + y_q \bar{q} P_R q \phi + y_q^* \bar{q} P_L q \phi$$

仮定: $\text{Im}[m_q] \ll \text{Re}[m_q]$, $\Lambda_{\text{QCD}} \ll |m_q|$, $m_q \ll m_\phi$

2通りの方法で整合するか確かめる

- Full theory \rightarrow light quark EFT $\rightarrow \delta\theta$
- Full theory $\rightarrow \delta\theta$ (Fock-Schwinger gauge method)

ϕ を積分して軽い quark の EFT を考えると, 次元 6 までの CPV 演算子は

$$-\mathcal{L} = \bar{q} (\text{Re}[m_q] + i \text{Im}[m_q] \gamma_5) q + \frac{1}{2} m_\phi^2 \phi^2 + y_q \bar{q} P_R q \phi + \text{h.c.}$$

↓ ϕ を積分, $\mu \sim m_\phi$

$$-\mathcal{L}_{\text{eff}} = \bar{q} i \text{Im}[m_q + \Delta m_q] \gamma_5 q + \frac{i}{2} g_s \tilde{d}_q \bar{q} \sigma^{\mu\nu} \gamma_5 G_{\mu\nu} q - C_4^q (\bar{q} q) (\bar{q} i \gamma_5 q) \\ - \cancel{C_5^q (\bar{q} \sigma^{\mu\nu} q) (\bar{q} i \sigma_{\mu\nu} \gamma_5 q)} + \Delta\theta_{\text{th}} \frac{\alpha_s}{8\pi} G_{\mu\nu}^a \tilde{G}^{a\mu\nu} + \frac{1}{3} \omega f^{abc} G_{\mu\nu}^a G_\rho^{b\nu} \tilde{G}^{c\rho\mu}$$

$$\Delta m_q = -\frac{\text{Im}[y_q^2]}{16\pi^2} \text{Re}[m_q] \left[1 + \log \frac{\mu^2}{m_\phi^2} + \frac{m_q^2}{m_\phi^2} \log \frac{m_q^2}{m_\phi^2} \right], \quad C_4^q = \frac{\text{Im}[y_q^2]}{2m_\phi^2}, \quad \tilde{d}_q = -\frac{\text{Im}[y_q^2]}{16\pi^2} \frac{3 \text{Re}[m_q]}{2m_\phi^2}$$

C_5^q , ω は高次の寄与なので無視する

4-fermi (C_4^q) と CEDM (\tilde{d}_q) は RGE を通して混ざる [J. Hisano, et al. Phys. Lett. B 713 (2012)]

$$\mu \frac{d}{d\mu} \tilde{d}_q(\mu) = \frac{4m_q}{(4\pi)^2} C_4^q$$

$$\tilde{d}_q(\mu) = -\frac{\text{Im}[y_q^2]}{16\pi^2} \frac{\text{Re}[m_q]}{m_\phi^2} \left[\frac{3}{2} + \log \frac{\mu^2}{m_\phi^2} \right]$$

EFT での $G\tilde{G}$ への寄与は

$$\delta\theta_{\text{EFT}} = -\frac{\text{Im}[m_q + \Delta m_q]}{\text{Re}[m_q]} - 2 \int_{\log m_\phi^2}^{\log m_q^2} \text{Re}[m_q] \tilde{d}_q(\mu) d \log \mu^2 + \Delta\theta_{\text{th}}$$

新しい方法 (Fock-Schwinger gauge method) ではどうか?

Fock-Schwinger gauge method

Fock-Schwinger gauge : $(x - x_0)^\mu A_\mu(x) = 0$

- 並進対称性 (=運動量保存) を破る \Rightarrow 全微分項を扱える

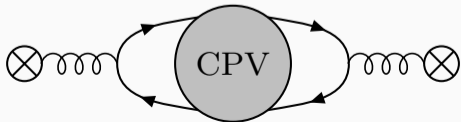
$$G\tilde{G} \propto \partial \left[A\partial A + \frac{2}{3}A^3 \right]$$

- gauge 不変な量なら並進対称性が回復

[S. N. Nikolaev, A.V. Radyushkin, Phys. Lett. B 110 (1982), Nucl. Phys. B 213 (1983)]

- $A_\mu(q) = -\frac{i(2\pi)^4}{2} G_{\nu\mu}(0) \frac{\partial}{\partial q_\nu} \delta^{(4)}(q) + \dots$

$G\tilde{G}$ への寄与 = FS gauge を取った背景 gluon 場の下で評価した quark の babble diagram

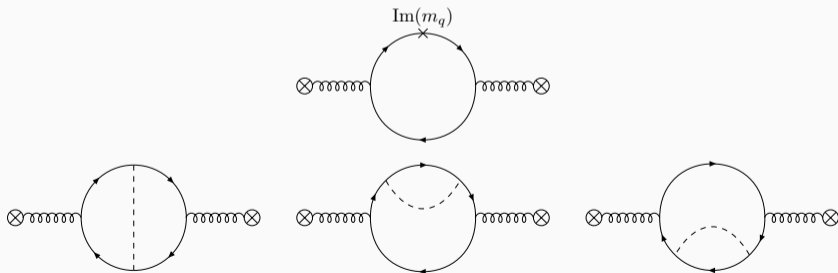


Simplified model

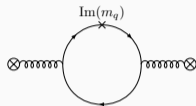
Full lagrangian

$$-\mathcal{L} = \bar{q} (\text{Re}[m_q] + i \text{Im}[m_q] \gamma_5) q + \frac{1}{2} m_\phi^2 \phi^2 + y_q \bar{q} P_R q \phi + y_q^* \bar{q} P_L q \phi$$

$G\tilde{G}$ に寄与する diagram \Rightarrow Fock-Schwinger gauge method で評価



$m_q \ll m_\phi$ での diagram による直接計算: $\delta\theta_{FS} = \delta\theta_{1L} + \delta\theta_{2L}$



$$\delta\theta_{1L} = -\frac{\text{Im}[m_q]}{\text{Re}[m_q]}$$



$$\delta\theta_{2L} = \frac{\text{Im}[y_q^2]}{16\pi^2} \text{Re}[m_q]^2 \left[\frac{1}{m_q^2} \left(1 + \log \frac{\mu^2}{m_\phi^2} \right) + \frac{1}{3m_\phi^2} \left(\pi^2 + 12 \log \frac{m_q^2}{m_\phi^2} + 3 \log^2 \frac{m_q^2}{m_\phi^2} \right) \right]$$

diagrammatical な輻射 θ の評価 (FS method) と EFT の方法を比較すると

$$\delta\theta_{\text{EFT}} = -\frac{\text{Im}[m_q + \Delta m_q]}{\text{Re}[m_q]} - 2 \int_{\log m_\phi^2}^{\log m_q^2} \text{Re}[m_q] \tilde{d}_q(\mu) d \log \mu^2 + \Delta\theta_{\text{th}}$$

$$\delta\theta_{\text{FS}} = -\frac{\text{Im}[m_q]}{\text{Re}[m_q]} + \frac{\text{Im}[y_q^2]}{16\pi^2} \left[1 + \log \frac{\mu^2}{m_\phi^2} + \frac{m_q^2}{m_\phi^2} \log \frac{m_q^2}{m_\phi^2} \right]$$

$$+ \frac{\text{Im}[y_q^2]}{16\pi^2} \frac{2m_q^2}{m_\phi^2} \left[\frac{3}{2} \log \frac{m_q^2}{m_\phi^2} + \frac{1}{2} \log^2 \frac{m_q^2}{m_\phi^2} \right] + \frac{\text{Im}[y_q^2]}{48} \frac{m_q^2}{m_\phi^2}$$

\Rightarrow FS method は EFT の方法と consistent

$m_q \ll m_\phi$ において $\delta\theta$ への主要な寄与は何か

$$\begin{aligned}\delta\theta_{\text{FS}} = & -\frac{\text{Im}[m_q]}{\text{Re}[m_q]} + \frac{\text{Im}[y_q^2]}{16\pi^2} \left[1 + \log \frac{\mu^2}{m_\phi^2} + \frac{m_q^2}{m_\phi^2} \log \frac{m_q^2}{m_\phi^2} \right] \\ & + \frac{\text{Im}[y_q^2]}{16\pi^2} \frac{2m_q^2}{m_\phi^2} \left[\frac{3}{2} \log \frac{m_q^2}{m_\phi^2} + \frac{1}{2} \log^2 \frac{m_q^2}{m_\phi^2} \right] + \frac{\text{Im}[y_q^2]}{48} \frac{m_q^2}{m_\phi^2}\end{aligned}$$

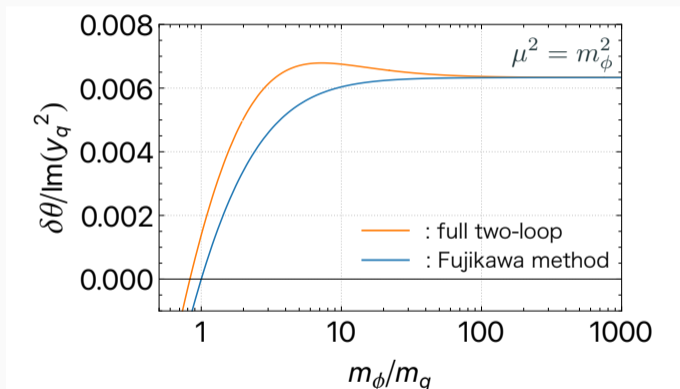
2-loop からの寄与は (係数を無視して)

$$\text{質量の位相} \sim 1 \quad \gg \quad \text{CEDM, } \Delta\theta_{\text{th}} \sim m_q^2/m_\phi^2$$

一方, Fujikawa method では $\delta\theta = -\text{Im}[m_q + \Delta m_q]/\text{Re}[m_q]$

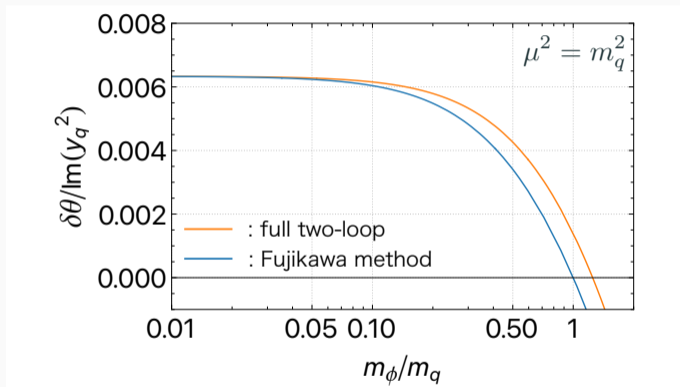
$m_q \ll m_\phi$ では Fujikawa method で問題なさそう, $m_q \sim m_\phi$ ではどうか?

$m_q \lesssim m_\phi$ での diagram 計算の解析解の振る舞いを調べると



$m_\phi/m_q \lesssim 10$ では Fock-Schwinger gauge method で評価すべき

一方, quark が重い場合 ($m_\phi < m_q$)

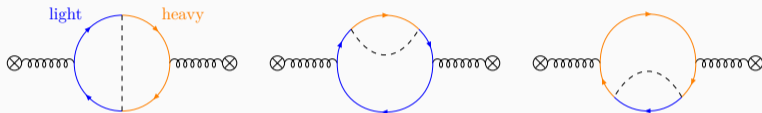


Fujikawa method は良い近似になっている

$m_\phi \ll m_q$ での一致は偶然 (EFT としての解釈も無いため)

2-flavor case

light quark (q_l) と heavy quark (q_h) を含み, Yukawa の非対角成分で CP を破る場合



quark の質量に階層性があるとき ($m_l \ll m_h \sim m_\phi$) 2-loop diagram からの寄与は

- 質量の位相: $\Delta m_l \sim \frac{m_h}{m_l}$, $\Delta m_h \sim \frac{m_l}{m_h}$
- CEDM, $\Delta\theta_{th} \sim \frac{m_l m_h}{m_\phi^2}$

⇒ 最も軽い quark の質量の位相からの寄与が支配的

Nelson-Barr

minimal BBP model (+ real scalar S)

[L. Bento et al. Phys. Lett. B 267 (1991)]

	chirality	$SU(3)_C$	$SU(2)_L$	$U(1)_Y$	\mathbb{Z}_N
Q	L	3	2	1/6	0
u	R	3	1	2/3	0
d	R	3	1	-1/3	0
H	-	1	2	1/2	0
ψ	L	3	1	-1/3	k
ψ^c	R	3	1	-1/3	k
Σ_a	-	1	1	0	k
S	-	1	1	0	0

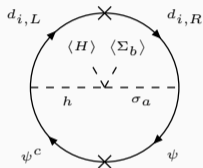
$$-\mathcal{L}_Y^d = y_u^{ij} \tilde{H} \bar{Q}_i u_j + y_d^{ij} H \bar{Q}_i d_j \\ + g^{ai} \Sigma_a \bar{\psi}_L d_i + f S \bar{\psi} \psi^c + \text{h.c.}$$

$$V(\Sigma_a, H) = \gamma_{ab} \Sigma_a^* \Sigma_b |H|^2 + \frac{1}{2} \tilde{\gamma}_{ab} \Sigma_a^* \Sigma_b S^2$$

- Σ^a の相対位相 \rightarrow CP の破れ
- $f \langle S \rangle$ で ψ の質量を与える

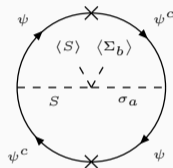
$\delta\theta$ への寄与

$$\delta\theta = \Delta\theta_\Sigma + \Delta\theta_S$$



$$\Delta\theta_\Sigma \sim \frac{\langle \Sigma \rangle^2}{m_\Sigma^2}$$

軽い quark 質量の寄与 ($\frac{1}{m_d}$) はない

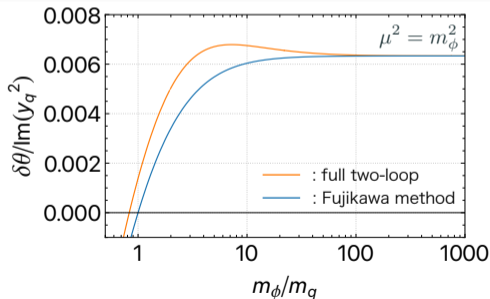
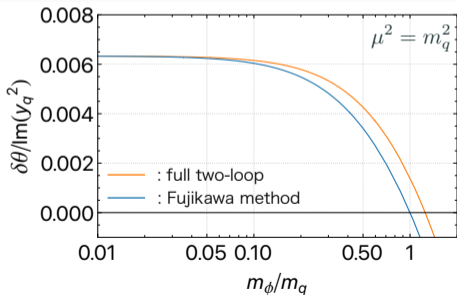


$$\Delta\theta_S \sim \frac{\langle \Sigma \rangle^2}{m_S^2 - m_\Sigma^2} \cdot \frac{\langle S \rangle}{m_\psi} \sim \frac{\langle \Sigma \rangle^2}{m_S^2 - m_\Sigma^2}$$

重い粒子のみ含む (階層性: 小)

⇒ Fujikawa method では不十分

- Fock-Schwinger gauge method を用いた 2-loop 計算で $\bar{\theta}$ を評価
 - quark 質量の位相以外の $\bar{\theta}$ への寄与も含む (ex. chromo EDM)
 - FS method は EFT の方法と consistent
- 質量の階層性が小さい場合は FS method を使うべき



Backup

$$\mathcal{L}_{\text{eff}} = \bar{q} [i\not{D} - (m_q^* P_L + m_q P_R)] q - \frac{1}{2} g_s \mu_q \bar{q} (\sigma \cdot G) q - \frac{i}{2} g_s d_q \bar{q} (\sigma \cdot G) \gamma_5 q$$

↕ chiral rot.

$$\mathcal{L}_{\text{physical}} = \bar{q} (i\not{D} - |m_q|) q - \frac{1}{2} g_s \tilde{\mu}_q \bar{q} (\sigma \cdot G) q - \frac{i}{2} g_s \tilde{d}_q \bar{q} (\sigma \cdot G) \gamma_5 q - \theta_q \frac{\alpha_s}{8\pi} G\tilde{G}$$

物理的な（基底に依らない）chromo MDM/EDM

$$\tilde{\mu}_q = \mu_q \cos \theta_q + d_q \sin \theta_q$$

$$\tilde{d}_q = -\mu_q \sin \theta_q + d_q \cos \theta_q$$

Weinberg operator

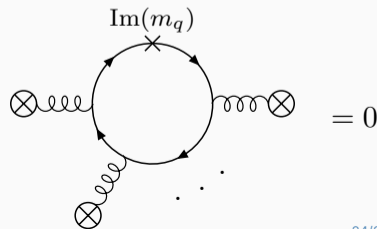
$\text{Im}(m_q)$ を含む 1-loop diagram からの Weinberg operator への寄与は

$$\begin{aligned} \frac{d}{dm_q} \Delta S &\supset \text{tr} \left[\left\{ \frac{1}{p^2 - |m_q|} \left(\frac{1}{2} g_s (\sigma \cdot G) \right) \right\}^3 \frac{1}{p^2 - |m_q|} m_q^* P_R \right] \\ &\supset i \int d^4x \frac{c}{m_q |m_q|^2} GG\tilde{G} \quad (c: \text{適当な実係数}) \end{aligned}$$

m_q で積分すれば $\Delta S \supset -i \int d^4x \frac{c}{|m_q|} GG\tilde{G}$, $\frac{d}{dm_q} \rightarrow \frac{d}{dm_q^*}$ も考えると

$$\Delta S \supset i \int d^4x \left[\frac{c}{|m_q|} - \frac{c}{|m_q|} \right] GG\tilde{G} = 0$$

実は $GG\tilde{G}$ より高次の gluon CPV 演算子は 1-loop で現れない



BBP model + real scalar

$$-\mathcal{L}_Y^d = y_u^{ij} \tilde{H} \bar{Q}_i u_j + y_d^{ij} H \bar{Q}_i d_j + g^{ai} \Sigma_a \bar{\psi}_L d_i + f S \bar{\psi} \psi^c + \text{h.c.}$$

$$V(\Sigma_a, H) = \gamma_{ab} \Sigma_a^* \Sigma_b |H|^2 + \frac{1}{2} \tilde{\gamma}_{ab} \Sigma_a^* \Sigma_b S^2$$

$f \langle S \rangle := m$, $\xi^{*i} := g^{ai} \langle \Sigma_a \rangle$, $M^2 := m^2 + |\xi|^2$ として基底を取り替える

$$\begin{pmatrix} d_R \\ \psi^c \end{pmatrix} \rightarrow \begin{pmatrix} 1 - \frac{\xi^i \xi^{*j}}{|\xi|^2} \left(1 - \frac{m}{M}\right) & \frac{\xi^i}{M} \\ -\frac{\xi^{*j}}{M} & \frac{m}{M} \end{pmatrix} \begin{pmatrix} d_R \\ \psi^c \end{pmatrix}, \quad \begin{pmatrix} d_L \\ \psi \end{pmatrix} \rightarrow \begin{pmatrix} 1 & Y \frac{\langle H \rangle}{M} \\ -Y^\dagger \frac{\langle H \rangle}{M} & 1 \end{pmatrix} \begin{pmatrix} d_L \\ \psi \end{pmatrix}$$

$\Rightarrow d, \psi$ の質量行列が $\langle H \rangle / M$ の 0 次では対角化される